



# طراحی کنترل گر بازخورد خروجی پویای نامتمرکز از مرتبهٔ ثابت جهت تحقق توافق جمعی در سامانه‌های چندعاملی تأخیردار

امید نیکویی زاده<sup>۱</sup>، امیر امینی<sup>۱</sup>، مهدی سجادی<sup>۲</sup>

<sup>۱</sup> دانشجوی کارشناسی ارشد مهندسی برق، گروه کنترل، دانشگاه تربیت مدرس، o.nikouyizadeh, amir.amini}@modares.ac.ir

<sup>۲</sup> استادیار، دانشکده مهندسی برق و کامپیوتر، گروه کنترل، دانشگاه تربیت مدرس، sojoodi@modares.ac.ir

(تاریخ دریافت مقاله ۱۳۹۴/۴/۱۰، تاریخ پذیرش مقاله ۱۳۹۴/۹/۱)

**چکیده:** در این پژوهش با استفاده از کنترل گر بازخورد خروجی پویا و مرتبهٔ ثابت، الگوریتم توافق جمعی وابسته به تأخیر نوینی به منظور حل مسئلهٔ توافق جمعی در سامانه‌های چندعاملی خطی و دارای تأخیرهای ورودی و ارتباطی متغیر با زمان در قالب نامساوی‌های ماتریسی خطی ارائه گردیده است. در طرح پیشنهادی، هر عامل، خود را بر اساس اطلاعات خروجی خود و همسایه‌ها بهنگام می‌کند و لذا از این منظر، طراحی کنترل گر نامترکر می‌باشد. جهت تضمین توافق جمعی، ابتدا مبنی بر قضیهٔ گراف و با تبدیل‌های مناسب سامانه، مسئلهٔ توافق جمعی به مسئلهٔ پایداری یک سامانهٔ خطی دارای تأخیر در حالت تبدیل می‌شود. سپس با در نظر گرفتن یکتابع لیاپانوف-کراسوفسکی مناسب و اعمال شرایطی خاص برای ماتریس‌های مثبت معین و متقاضان آن، معیارهای توافق جمعی وابسته به تأخیر و ضرایب مجهول کنترل گر در قالب نامساوی‌های ماتریسی خطی برای سامانه با توابع ارتباطی ثابت بدست می‌آیند که با استفاده از الگوریتم‌های بهینه‌سازی محاسبه کارآمد موجود قابل حل می‌باشند. یک ویژگی مهم رویکرد پیشنهادی، انتخاب دلخواه مرتبهٔ کنترل گرها بر طبق شرایط و محدودیت‌های سامانه است. در نهایت، یک مثال عددی برای نشان دادن قابلیت اعمال روش و اثربخشی و بهبود صورت پذیرفته در مقایسه با کارهای پیشین آورده شده است.

**کلمات کلیدی:** سامانه‌ی چندعاملی، توافق جمعی، بازخورد خروجی پویا، تأخیر زمانی، نامساوی ماتریسی خطی.

## Fixed-Order Decentralized Dynamic Output Feedback Controller Design for Consensus of Multi-Agent Systems with Time Delay

Omid Nikouei Zadeh, Amir Amini, Mahdi Sojoodi

**Abstract:** This paper presents a novel delay-dependent consensus algorithm within the linear matrix inequality (LMI) framework to solve consensus problem of linear multi-agent systems with time-varying communication and input delays using fixed-order dynamic output feedback controller. The proposed scheme is decentralized in the sense that each agent updates its state according to the output information of itself and its neighbors. To guarantee consensus in this method, first based on graph theory and by proper system transformations, the consensus problem is converted to the stability problem of an equivalent state-delayed linear system. Then, by considering a suitable Lyapunov-Krasovskii function and applying special conditions on symmetric positive definite matrices, new delay-dependent consensus criteria in LMI form and the unknown controller coefficients are obtained for the system under fixed interconnection topology which can be easily solved by various effective optimization algorithms. As a main feature of the proposed approach, the order of decentralized controllers can be chosen arbitrarily according to the system conditions and limitations. Finally, a numerical example is presented to show the applicability and effectiveness of the proposed method.

**Keywords:** Multi-Agent Systems, Consensus, Dynamic Output Feedback, Time Delay, Linear Matrix Inequality (LMI).

## ۱- مقدمه

تعیین الگوریتم کنترلی با هدف توافق جمعی عامل‌ها، از مهم‌ترین موضوعات مورد بحث در سامانه‌های چندعاملی است و تاکنون الگوریتم‌های گوناگون روی شبکه‌های مختلف بررسی شده‌اند و این روش‌ها هر روز در حال بهبود می‌باشند و شرایط پیچیده‌تری را پوشش می‌دهند. از زمان مطرح شدن مسئله‌ی توافق، به فراخور محدودیت‌های فیزیکی سامانه‌ی چندعاملی مورد مطالعه، استراتژی‌های کنترلی متفاوتی نظیر بازخورد حالت<sup>۱</sup>، بازخورد خروجی<sup>۲</sup>، مد لغزشی<sup>۳</sup>، کنترل تطبیقی<sup>۴</sup>، کنترل مقاوم<sup>۵</sup>، کنترل پیش‌بین مدل<sup>۶</sup> و کنترل گرهای غیرخطی با اهداف مختلف کنترلی طراحی و فرموله شده‌اند<sup>[۵]</sup>. از اولین پژوهش‌های جدی در جهت تئوری مسئله‌ی توافق جمعی برای سامانه‌های شبکه‌ای می‌توان به [۶] و [۷] اشاره کرد که در آن مفهوم توافق جمعی و اثبات الگوریتم برای عامل‌های ساده‌ی مرتبه اول بیان شده است. مسئله‌ی توافق جمعی عامل‌ها با دینامیک مرتبه دو و بالاتر نسبت به دینامیک مرتبه اول پیچیدگی بیشتری دارد، زیرا علاوه بر نحوه تعاملات بین عامل‌ها به پارامترهای کنترلی استفاده شده در پروتکل توافق جمعی نیز بستگی دارد. در [۸]، با استفاده از تبدیل لاپلاس چندین پروتکل توافق جمعی برای سامانه‌های مرتبه اول و مرتبه دوم ارائه شده است که باعث توافق عامل‌ها در زمان مناسب می‌شود ولی در مورد سامانه‌ها با دینامیک بالاتر صعبتی نشده است. در [۹]، توافق جمعی سامانه‌های چندعاملی مرتبه دو با اغتشاش خارجی بررسی شده و یک پروتکل توافق جمعی مبتنی بر رویت گر اختشاش ارائه شده است. در [۱۰]، مسئله‌ی توافق جمعی مقاوم سامانه‌های چندعاملی خطی با مرتبه کسری<sup>۷</sup> دارای نامعینی حقیقی مثبت بررسی شده و شرایط توافق جمعی مقاوم بر مبنای نامساوی ماتریسی خطی بدست آمده است. در [۱۱]، مسئله‌ی توافق جمعی مقاوم برای عامل‌های خطی با دینامیک یکسان تحت توبولوژی ارتباطی ثابت مطالعه شده و ضمن پیشنهاد کنترل‌گر بازخورد خروجی پویای توزیعی، شرایط کافی جهت رسیدن به توافق جمعی با عملکرد  $H_{\infty}$  ارائه شده است.

در سامانه‌های چندعاملی، هر عامل دارای تأخیر زمانی در ورودی خاص خودش جهت دریافت و پردازش اطلاعات است و تأخیرهای ارتباطی بین عامل‌های همسایه هنگام تبادل اطلاعات نیز غیرقابل چشم‌پوشی هستند. تأخیر زمانی منجر به رفتارهای دینامیکی نامطلوب از قبیل نوسان، تنزل کارآیی، ناپایداری شبکه و پیچیدگی بیشتر در پروتکل توافق جمعی می‌شود، بنابراین باید اثر تأخیر بر همگرایی پروتکل‌های توافق جمعی را مورد توجه قرار داد. بررسی تأخیر ورودی و تأخیر ارتباطی متغیر با زمان یا ثابت یا تأخیر نامعلوم هر یک چالشی جداگانه

در سال‌های اخیر، سامانه‌های چندعاملی<sup>۸</sup> به دلیل کاربردهای گسترده‌ای که در بسیاری از زمینه‌ها از جمله زیست‌شناسی، ریاضیات، فیزیک، اقتصاد، علوم کامپیوتر، رباتیک و مهندسی کنترل دارند توجه زیادی را به خود جلب نموده و تحلیل، طراحی و بهینه‌سازی انواع گوناگون رفتارهای همانگ گروهی در این سامانه‌ها مورد مطالعه بسیاری از محققان قرار گرفته است. سامانه‌ی چندعاملی مشکل از چندین عامل<sup>۹</sup> هوشمند و مستقل می‌باشد که با هم‌دیگر دارای تعامل و همکاری هستند [۱]. به طور کلی به هر سامانه‌ی محاسباتی که دارای حس‌گرهایی برای درک و دریافت اطلاعات از محیط و سایر عامل‌ها و واحدهای پردازنده‌ای برای پردازش آن اطلاعات باشد و به واسطه‌ی حرکت‌هایی روی محیط تأثیر بگذارد عامل (هوشمند) اطلاق می‌شود [۲]. در بسیاری از کاربردهای عملی لازم است چندین عامل با رفتارهای ساده در کنار یکدیگر قرار بگیرند و ضمن انجام دادن اهداف و مسئولیت‌های مستقل خویش، با یکدیگر در ارتباط و همکاری باشند و هدف مشترک کلی تری را برای سامانه‌ای با رفتار پیچیده دنبال کنند. مسئله‌ی توافق جمعی یکی از مهم‌ترین مسائل کنترل مشارکتی<sup>۱۰</sup> در سامانه‌های چندعاملی است. به طور کلی، توافق جمعی به معنای به توافق رسیدن عامل‌های مختلف بر سر موضوعی خاص است که این موضوع خاص می‌تواند حالت عامل‌ها یا خروجی آن‌ها باشد. در واقع در توافق جمعی، با توجه به اطلاعات توزیعی که در اختیار عامل‌ها قرار دارد، گروه به یک ارزیابی و تصمیم مشترک برای انجام هدفی خاص می‌رسد. از جمله کاربردهای توافق جمعی می‌توان به الگوریتم زمان‌بندی با رموثر و حذف بار در سامانه‌های قدرت، همگام‌سازی<sup>۱۱</sup> در شبکه‌های سنسوری مقیاس وسیع<sup>۱۲</sup> و بدون سیم، همگام‌سازی نوسان‌گرهای زیستی تزویج شده و توافق جمعی در دسته‌ی ریات‌ها اشاره کرد [۱]، [۳]. توافق جمعی در سامانه‌های رباتیکی شاید از دسته‌های دیگر پرکاربردتر باشد. برای مثال در صنعت، جایه‌جایی یک شی یا بارگیری یک قطعه بزرگ ایجاد می‌کند که بازوهای مکانیکی<sup>۱۳</sup> موقعیت یکسانی داشته باشند. در این حالت راهبری<sup>۱۴</sup> وجود ندارد و خود عامل‌ها در مورد مقدار نهایی حالات خود به توافق می‌رسند اما در وضعیتی دیگر نیز، یک عامل به عنوان راهبر وجود دارد و عامل‌های دیگر خود را پیرو آن می‌سازند. وضعیت دوم هنگامی کاربرد دارد که چند بازوی مکانیکی دور از هم با یکدیگر شبکه هستند و هنگامی که اپراتور یکی از ربات‌ها را تنظیم می‌کند، ربات‌های دورتر نیز از موقعیت و حالات آن پیروی کنند [۱۴].

<sup>8</sup> State Feedback

<sup>9</sup> Output Feedback

<sup>10</sup> Sliding Mode

<sup>11</sup> Adaptive

<sup>12</sup> Robust

<sup>13</sup> Model Predictive Control

<sup>14</sup> Fractional-Order

<sup>1</sup> Multi-Agent

<sup>2</sup> Agent

<sup>3</sup> Cooperative Control

<sup>4</sup> Synchronization

<sup>5</sup> Large Scale

<sup>6</sup> Manipulator

<sup>7</sup> Leader

است باید تمامی حالت‌های سامانه اندازه‌گیری شود و یا باید جهت استخراج حالات، رویت گر طراحی شود. بنابراین، نظر به عملی‌تر بودن کنترل گر بازخورد خروجی نسبت به بازخورد حالت و همچنین انعطاف پیشتر کنترل گر پویا نسبت به کنترل گر ایستا، در این نوشتار کنترل گر بازخورد خروجی پویا برای طراحی انتخاب گردیده است. برخلاف کارهای گذشته، پیکربندی مسئله و طراحی به نحوی است که انتخاب مرتبه‌ی کنترل گر در اختیار طراح بوده و به راحتی می‌توان نتایج کنترل-گرهای مرتبه‌های مختلف را مقایسه و مورد ایده‌الا را انتخاب نمود. ضمناً نامساوی ماتریسی نهایی نیز خطی بوده و می‌توان پارامترهای کنترل گر را با استفاده از الگوریتم‌های کارآمد پیاده‌سازی شده در نرم‌افزارهای موجود تعیین نمود.

در ادامه این مقاله، در بخش دوم پیش‌نیازهای لازم مطرح می‌شود. در بخش سوم به بیان مسئله پرداخته و کنترل گر بازخورد خروجی پویای نامتمرکز مرتبه‌ی ثابت طراحی می‌شود. نتایج اصلی کار تحت دو قضیه در بخش چهارم بیان شده است و بخش پنجم به ارائه یک مثال عددی جهت بررسی کارآیی و بهبود صورت گرفته در مقایسه با کارهای پیشین اختصاص یافته است. در نهایت در بخش ششم جمع‌بندی و نتیجه‌گیری مقاله ارائه شده است.

## ۲- مقدمات ریاضی

عبارت  $x \in \mathbb{R}^n$  معرف بردار ستونی حقیقی  $n$  عضوی، علامت  $\otimes$  بیان گر ضرب کرونکر بین دو ماتریس، عبارت  $I_n$  ماتریس قطری واحد  $n \times n$  و  $J_n$  ماتریس  $n \times n$  با تمامی درایه‌ها برابر با واحد می‌باشد. برای نمایش بردار ستونی  $n \times 1$  که تمام اعضای آن واحد یا تمامی درایه‌های آن صفر می‌باشد، به ترتیب از  $1_n$  و  $0_n$  استفاده شده است. علامت  $*$  استفاده شده در آرایه‌های ماتریس، نشان‌گر ترناهاده درایه‌ی متقارن آن عضو، نسبت به قطر اصلی است. همچنین برای ماتریس متقارن  $A$ ، نماد  $A > 0$  به معنی مثبت معین بودن آن است. نماد  $\parallel$  معرف نرم ماتریسی و  $\{\cdot, \cdot\}$  بیان گر ماتریس بلوکی قطری ساخته شده از  $A$  و  $B$  است. همچنین برای دو ماتریس  $A$  و  $B$  با ابعاد یکسان  $m \times n$ ، ضرب هادامارد به صورت  $A \circ B$  و جهت نمایش شبه معکوس ماتریس  $A_{m \times n}$  نیز از نماد  $A^\dagger$  استفاده گردیده است.

مدل‌سازی نحوه ارتباطات بین  $N$  عامل در شبکه را می‌توان از طریق گراف جهت‌دار  $(V, E, A)$  با  $V = g$  از مرتبه  $N$  نشان داد. این گراف، یک گراف وزن‌دار با مجموعه گره‌های  $\{v_1, \dots, v_N\}$ ،  $E \subseteq V \times V$  و ماتریس مجاور<sup>۱</sup> نامنفی است. هر رأس یا گره در گراف نماینده‌ی یک

در طراحی الگوریتم توافق جمعی است. در [۱۲] توافق جمعی با راهبر و بدون آن، با شمای کنترل توزیعی برای مدل خطی پیوسته زمان و عمومی فضای حالت عامل‌ها با در نظر گرفتن تأثیر تأخیر و رودی ثابت و متغیر با زمان بررسی شده است. در [۱۳]، به بررسی مسئله‌ی توافق جمعی سامانه‌های چندعاملی مشکل از عامل‌های مرتبه اول و مرتبه دوم تحت توپولوژی‌های ارتباطی ثابت و متغیر و در حضور تأخیر ارتباطی و تأخیر ورودی متغیر با زمان پرداخته شده است و با استفاده از قضیه‌ی لیپاونوف-کراسوفسکی، پروتکل توافق جمعی با زمان در قالب نامساوی‌های ماتریسی خطی ارائه شده است. در [۱۴]، اثبات شده که توافق جمعی در عامل‌های مرتبه دو دست یافتنی است اگر تأخیر ارتباطی در توپولوژی ارتباطی بین عامل‌ها از حد معنی کمتر باشد. در [۱۵] و [۱۶] بدون در نظر گرفتن تأخیر زمانی و عدم قطعیت‌ها، مسئله‌ی توافق جمعی برای سامانه‌های خطی با استفاده از کنترل گر بازخورد خروجی پویا مورد بررسی قرار گرفته است و با بکارگیری تبدیلات مناسب، مسئله‌ی توافق جمعی به حل یک نامساوی ماتریسی تقلیل یافته است و در نهایت، یافتن ضرایب کنترل گر بازخورد خروجی پویای نامتمرکز منجر به حل یک نامساوی ماتریسی دوسویه گشته و روش‌های تکرار شونده از قبیل روش هموتوپی برای حل آن بکار گرفته شده است. محاسبات عددی در نامساوی ماتریسی دوسویه نسبت به نامساوی ماتریسی خطی به مراتب دشوار‌تر بوده و الگوریتم کلی موثری برای حل انواع این گونه نابرابری‌ها وجود ندارد.

با ظهور ابزار قدرتمند بهینه‌سازی محاسباتی، حل مسائل طراحی با استفاده از این روش بسیار جذابیت پیدا کرده است. در [۱۷] با در نظر گرفتن شرایطی از پیش تعیین شده برای ضرایب کنترل گر و ماتریس‌های بلوکی مثبت معین در قضیه‌ی لیپاونوف، روشی مناسب جهت تبدیل نامساوی‌های ماتریسی دوسویه به نامساوی‌های ماتریسی خطی پیشنهاد شده است که در ادامه از آن استفاده خواهد شد.

با توجه به بررسی‌ها و مطالعات انجام شده، مسئله‌ی توافق جمعی در شبکه‌ای از عامل‌ها با دینامیک زمان پیوسته و مرتبه بالا در حضور تأخیرهای دلخواه و متغیر با زمان در ورودی و یا شبکه‌ای ارتباطی، با استفاده از کنترل گر بازخورد خروجی پویای نامتمرکز مرتبه‌ی ثابت، مورد بررسی قرار نگرفته است. با این پیش‌زمینه، در این نوشتار به بررسی و حل مسئله‌ی توافق جمعی سامانه‌های چندعاملی دارای تأخیر زمانی با استفاده از کنترل گر بازخورد خروجی پویای نامتمرکز مرتبه‌ی ثابت از طریق رویکرد نامساوی ماتریسی خطی خواهیم پرداخت. در این پژوهش، همگرایی عامل‌ها به میانگین شرایط اولیه‌ی عامل‌ها مدنظر نیست و مقدار توافق جمعی از نقاط موجود در پوش محدود<sup>۲</sup> عامل‌ها خواهد بود. همچنین مشابه مقالاتی که تاکنون به بررسی تأخیر ارتباطی پرداخته‌اند [۱۳]، تأخیر متغیر با زمان در تمامی کانال‌های ارتباطی یکسان فرض شده است. در الگوریتم‌هایی که از کنترل گر بازخورد حالت ایستا استفاده شده

<sup>2</sup> Adjacency Matrix

<sup>1</sup> Convex Hull

لما ۲۰]: برای ماتریس های ثابت دلخواه  $E \in R^{n \times m}$ ،  $D \in R^{n \times m}$  و  $F(t) \in R^{m \times m}$  و هر اسکالر  $\|F(t)\| \leq 1$  و هر اسکالر  $0 < \epsilon$  رابطه زیر برقرار است:

$$DF(t)E + E^T F^T(t)D^T \leq \epsilon^{-1} DD^T + \epsilon E^T E \quad (4)$$

همچنین برای هر ماتریس  $G$  و  $R > 0$  با ابعاد مناسب رابطه (5) برقرار است.

$$G^T R^{-1} G \geq G + G^T - R \quad (5)$$

### ۳- تعریف مسئله

در این بخش به پیکربندی مسئله و طراحی کنترل گر پرداخته می شود.

**۱-۳ سامانه چندعاملی با تأخیر در ورودی**  
دینامیک هر عامل در یک سامانه چندعاملی خطی با تأخیر ورودی به صورت زیر در نظر گرفته می شود:

$$\begin{aligned} \dot{x}_{pi}(t) &= Ax_{pi}(t) + B_i u_i(t - \tau(t)) \\ y_{pi}(t) &= Cx_{pi}(t) \end{aligned} \quad i = 1, 2, \dots, N \quad (6)$$

که در آن  $N$  تعداد عامل های سامانه چندعاملی در نظر گرفته شده است. همچنین  $y_{pi}(t) \in \mathbb{R}^q$ ،  $x_{pi}(t) \in \mathbb{R}^n$ ،  $u_i(t) \in \mathbb{R}^m$  و  $B_i$  به ترتیب بردار حالت، ورودی کنترلی و خروجی می باشند.  $A$ ،  $C$  نیز ماتریس های ثابت و نامتغير با زمان با ابعاد مناسب بوده و  $(A, B_i)$  کنترل پذیر می باشند. تأخیر متغیر با زمان  $\tau(t)$  برای همه عامل ها یکسان بوده و در رابطه زیر صدق می کند.

$$0 < \tau(t) < \tau, \quad \dot{\tau}(t) < \mu \quad (7)$$

می توان سامانه چندعاملی به هم پیوسته<sup>۹</sup> را به صورت زیر نشان داد:

$$\begin{aligned} \dot{x}_p(t) &= \bar{A}x_p(t) + \bar{B}u(t - \tau(t)) \\ y_p(t) &= \bar{C}x_p(t) \end{aligned} \quad (8)$$

که در آن  $x_p(t) = [x_{p1}^T(t) \dots x_{pN}^T(t)]^T$  بردار حالت،  $u(t) = [u_1^T(t) \dots u_N^T(t)]^T$  ورودی و  $y_p(t) = [y_{p1}^T(t) \dots y_{pN}^T(t)]^T$  بردار خروجی سامانه به هم پیوسته هستند. همچنین  $\bar{A} = I_N \otimes A$  ماتریس سامانه،  $\bar{C} = I_N \otimes C$  ماتریس ورودی و ماتریس خروجی سامانه تشکیل شده از تجمع عامل ها می باشد.

مسئله توافق جمعی به معنی طراحی کنترل گریست که با توجه به نحوه ارتباط عامل ها با یکدیگر، بتواند حالات عامل ها را به بردار مشترکی همگرا کند. به بیان ریاضی یعنی [۱۵]:

عامل و هر یال<sup>۱</sup> گراف نشان دهنده لینک<sup>۲</sup> ارتباطی بین دو عامل است. یک یال جهت دار از گراف جهت دار  $g$  با  $e_{ij} = (v_i, v_j)$  نشان داده می شود که بیان گر دریافت اطلاعات عامل  $j$  توسط عامل  $i$  می باشد.

یک زیرگراف از  $g$  در حقیقت خود یک گراف است که رئوس و مجموعه یال های گراف مجموعه یال های آن زیرمجموعه ای از رئوس و مجموعه یال های گراف اصلی است؛ همچنین پوشایش<sup>۳</sup> یک زیرگراف به معنی در برداشت تمام عبارت است از مجموعه تمام گره هایی مانند  $j$  که گره  $i$  از آنها یال ورودی دارد، به عبارت دیگر  $N_m(i) = \{j \in V : (j, i) \in E\}$

ماتریس لaplaci<sup>۴</sup>  $L = [l_{ij}] \in \mathbb{R}^{N \times N}$  مرتبط با گراف  $g = (V, E, A)$  به صورت رابطه (۱) تعریف می گردد [۱۸]:

$$l_{ii} = \sum_{j \in N_i} a_{ij}; \quad l_{ij} = -a_{ij} \quad \forall i \neq j; i, j = 1, \dots, N \quad (1)$$

درخت ها<sup>۵</sup> زیرمجموعه ای از گراف های بدون حلقه هستند که در آنها هر گره فقط و فقط یک یال ورودی دارد، به غیر از یک گره که هیچ ورودی ندارد و پایه ای درخت<sup>۶</sup> نامیده می شود. یک گراف در بردارنده یک درخت پوشای<sup>۷</sup> است اگر بتوان زیرمجموعه ای از یال های آن (زیرگراف) یافت که یک درخت تشکیل دهنده به گونه ای که تمامی گره ها را شامل شود. باید توجه داشت که شرط لازم برای تحقق توافق گرافی در یک سامانه چندعاملی وجود حداقل یک درخت پوشای در گراف ارتباطی عامل هاست [۱۶]. این فرض نیز برای سامانه چندعاملی موردنظر، صادق است. تحت این فرض، عدد صفر حتماً از مقادیر ویژه ماتریس لaplaci<sup>۸</sup> و بردار واحد  $1_N = [1, \dots, 1]^T$ ، بردار ویژه متناظر با آن است و سایر مقادیر ویژه ماتریس لaplaci<sup>۹</sup> همگی دارای قسمت حقیقی مثبت می باشند. بنابراین، رتبه ماتریس لaplaci<sup>۱۰</sup> برابر با  $N-1$  می باشد، یا به طور معادل،  $N-1$  سطر مستقل خطی در  $L$  وجود دارد.

**لم ۱ (مکمل شور<sup>۱۱</sup>)**: با در نظر گرفتن ماتریس های  $R(x) = R(x)^T$ ،  $Q(x) = Q(x)^T$  نابرابری غیرخطی زیر را:

$$R(x) > 0, \quad Q(x) - S(x) R(x)^{-1} S(x)^T > 0 \quad (2)$$

به نابرابری خطی (۳) تبدیل می کند.

$$\begin{bmatrix} Q(x) & S(x) \\ S(x)^T & R(x) \end{bmatrix} > 0 \quad (3)$$

<sup>1</sup> Edge

<sup>2</sup> Link

<sup>3</sup> Spanning

<sup>4</sup> In-neighbor

<sup>5</sup> Tree

<sup>6</sup> Root

<sup>7</sup> Spanning Tree

<sup>8</sup> Schur Complement

<sup>9</sup> Augmented

$$\begin{bmatrix} \dot{x}_p(t) \\ \dot{x}_c(t) \end{bmatrix} = \begin{bmatrix} \bar{A} & \bar{B}C_C \\ 0 & A_C \end{bmatrix} \begin{bmatrix} x_p(t) \\ x_c(t) \end{bmatrix} + \begin{bmatrix} \bar{B}D_CL_{\bar{C}}\bar{C} & 0 \\ B_CL_{\bar{C}}\bar{C} & 0 \end{bmatrix} \begin{bmatrix} x_p(t-\tau(t)) \\ x_c(t-\tau(t)) \end{bmatrix} \quad (15)$$

ایده‌ی اصلی برای یافتن شرط توافق جمعی عامل‌ها و پارامترهای کنترل گر، تبدیل مسئله‌ی توافق جمعی به مسئله‌ی پایداری یک سامانه‌ی حلقه بسته واحد می‌باشد. در ادامه چالش‌ها، لمحه و نحوه تبدیل مسئله توافق جمعی به مسئله‌ی پایداری بررسی می‌گردد.

### ۳-۳ تبدیل مسئله‌ی توافق جمعی به مسئله‌ی پایداری

هدف از بدست آوردن  $A_C$ ,  $B_C$ ,  $C_C$  و  $D_C$  بر طبق رابطه (۹)، همگرا کردن همه‌ی حالات عامل‌ها به برداری یکسان یا معادل‌اهمگرایی تفاضل بین بردار حالت عامل‌ها به صفر برای تحقق توافق جمعی است و همگرایی حالات خود عامل‌ها به مقدار صفر مدنظر نیست. این در حالی است که هرگونه تلاش برای بدست آوردن شرایط پایداری برای سامانه‌های (۱۲) و (۱۵) ممکن است منجر به همگرایی همه‌ی حالات خود عامل‌ها (نه تفاضل بین حالات عامل‌های مختلف) به مقدار صفر شود. بدین منظور، متغیرهای حالت جدیدی به صورت زیر تعریف می‌شود [۱۶]:

$$\hat{x}(t) = L_C x_p(t), \quad L_C = L \otimes I_n \quad (16)$$

با توجه به رابطه‌ی فوق، متغیرهای حالت جدید  $\hat{x}(t)$   $\hat{x}$  اختلاف بردار حالت هر عامل با عامل‌های همسایه را نشان می‌دهد. بنابراین، اگر بتوان پارامترهای کنترل گر را به گونه‌ای طراحی کرد که سامانه‌های حلقه بسته (۱۲) و (۱۵) با جایگزینی  $\hat{x}(t)$  به جای  $x_p(t)$  دارای پایداری مجانبی گردد، با گذشت زمان متغیرهای حالت  $\hat{x}(t)$  که بیان گر اختلاف بین بردار حالات عامل‌هاست به صفر میل نموده و طبق رابطه (۹) توافق جمعی محقق می‌گردد. اما همان‌طور که گفته شد به دلیل وجود مقدار ویژه صفر در ماتریس لاپلاسی شبکه‌ی عامل‌ها، ماتریس  $L$  رتبه‌ی کامل ندارد و دارای  $N-1$  سطر مستقل خطی می‌باشد و در نتیجه آن وجود ماتریس  $\tilde{L}_C$  در معادله سامانه‌های (۱۲) و (۱۵) باعث ایجاد معادلات اضافی شده است. بنابراین، متغیر حالت  $(t)$  دارای اطلاعات تکراری بوده و در نتیجه سامانه‌ی جایگزین شامل آن نیز از مرتبه کامل نمی‌باشد و قضیه پایداری لیپاونوف-کراسوفسکی را نمی‌توان برای تضمین پایداری چنین سامانه‌ی دارای افزونگی<sup>۱</sup> به کار گرفت. برای حل مشکل افزونگی،  $N-1$  سطر مستقل خطی از  $L$  را استخراج کرده و  $\tilde{L} \in \mathbb{R}^{(N-1) \times N}$  با نشان دادن آن‌ها با ماتریس جدید و مرتبه کامل نتیجه می‌شود:

$$\tilde{x}(t) = \tilde{L}_C x_p(t), \quad \tilde{L}_C = \tilde{L} \otimes I_n \quad (17)$$

$$\lim_{t \rightarrow \infty} \|x_i(t) - x_j(t)\| = 0, \quad \forall i \neq j \quad (9)$$

اکنون به منظور رسیدن به توافق جمعی، کنترل گر بازخورد خروجی پویای نامتمر کر در مرجع [۱۶] مبتنی بر خواص ماتریس لاپلاسی شبکه‌ی در رابطه (۱۰) به کار گرفته می‌شود.  $n_c$  عامل‌ها و از مرتبه‌ی ثابت

$$\begin{aligned} \dot{x}_c(t) &= A_C x_c(t) + B_C L_{\bar{C}} y_p(t) \\ u(t) &= C_C x_c(t) + D_C L_{\bar{C}} y_p(t) \end{aligned} \quad (10)$$

که در آن  $x_c(t) = [x_{c1}^T(t) \dots x_{cN}^T(t)]^T \in \mathbb{R}^{n_c N}$  بردار حالت‌های همه‌ی کنترل گرهای محلی و  $L_{\bar{C}} = L \otimes I_q$  می‌باشد. همچنین  $A_C$ ,  $B_C$ ,  $C_C$  و  $D_C$  به صورت زیر هستند که  $A_{Ci}$ ,  $B_{Ci}$  و  $D_{Ci}$  پارامترهای نامشخص کنترل گر محلی عامل  $i$ ام می‌باشند:

$$\begin{aligned} A_C &= diag\{A_{C1}, A_{C2}, \dots, A_{CN}\} \\ B_C &= diag\{B_{C1}, B_{C2}, \dots, B_{CN}\} \\ C_C &= diag\{C_{C1}, C_{C2}, \dots, C_{CN}\} \\ D_C &= diag\{D_{C1}, D_{C2}, \dots, D_{CN}\} \end{aligned} \quad (11)$$

با در نظر گرفتن سامانه‌ی چندعاملی به هم پیوسته در (۸) و کنترل گر پیشنهادی در (۱۰) به صورت توانم، سامانه حلقه بسته را می‌توان به فرم زیر بازنویسی کرد:

$$\begin{bmatrix} \dot{x}_p(t) \\ \dot{x}_c(t) \end{bmatrix} = \begin{bmatrix} \bar{A} & 0 \\ B_C L_{\bar{C}} \bar{C} & A_C \end{bmatrix} \begin{bmatrix} x_p(t) \\ x_c(t) \end{bmatrix} + \begin{bmatrix} \bar{B}D_C L_{\bar{C}} \bar{C} & \bar{B}C_C \\ 0 & 0 \end{bmatrix} \begin{bmatrix} x_p(t-\tau(t)) \\ x_c(t-\tau(t)) \end{bmatrix} \quad (12)$$

۲-۳ سامانه چندعاملی با تأخیر در توبولوژی ارتباطی در این قسمت برای بررسی تأثیر تأخیر در ارتباط بین عامل‌ها، با در نظر گرفتن سامانه (۶) بدون داشتن تأخیر زمانی در ورودی، سامانه‌ی به هم پیوسته به صورت زیر حاصل می‌شود:

$$\begin{aligned} \dot{x}_p(t) &= \bar{A} x_p(t) + \bar{B} u(t) \\ y_p(t) &= \bar{C} x_p(t) \end{aligned} \quad (13)$$

تأخیر ارتباطی موجود در شبکه‌ی عامل‌ها در همه‌ی کانال‌های ارتباطی یکسان و به صورت رابطه (۷) فرض می‌شود. بنابراین به منظور تحقق توافق جمعی (۹)، با در نظر گرفتن تأخیر متغیر با زمان  $(t-\tau)$  در همه‌ی کانال‌های ارتباطی شبکه‌ی عامل‌ها، بر طبق رویکرد [۲۱] با استفاده از ماتریس لاپلاسی شبکه، کنترل گر بازخورد خروجی پویای به هم پیوسته برای کنترل گرهای محلی به صورت (۱۴) نتیجه می‌شود.

$$\begin{aligned} \dot{x}_c(t) &= A_C x_c(t) + B_C L_{\bar{C}} y_p(t-\tau(t)) \\ u(t) &= C_C x_c(t) + D_C L_{\bar{C}} y_p(t-\tau(t)) \end{aligned} \quad (14)$$

حال با در نظر گرفتن سامانه‌ی چندعاملی به هم پیوسته در (۱۳) و کنترل گر پیشنهادی در (۱۴) به صورت توانم، سامانه حلقه بسته را می‌توان به فرم زیر بازنویسی کرد:

<sup>۱</sup> Redundancy

**قضیه ۱:** با مشخص بودن مقادیر مثبت  $\tau$  و  $\mu$ ، کنترل‌گر بازخورد خروجی پویای پیشنهاد شده در رابطه (۱۰)، سامانه‌ی چندعاملی تعریف شده در (۸) را ضمن حفظ نمودن پایداری سامانه به توافق جمعی می‌رساند اگر ماتریس‌های  $T, R > 0$ ،  $Q_2 > 0$ ،  $Q_1 > 0$ ،  $i = 1, 2, \dots, N$  برای  $k_i$  و  $f_i$ ،  $S_{ij}$  ( $i, j = 1, 2, 3, 4$ ) و  $W = diag\{w_1, \dots, w_N\}$ ،  $Q = diag\{q_1, \dots, q_N\}$  رساند.

$$P = P^T > 0$$

$$\begin{aligned} P &= diag\{P_S, P_C\}, \quad P_S = I_{N-1} \otimes \bar{p}_s \\ P_C &= diag\{P_{C_1}, \dots, P_{C_N}\} \end{aligned} \quad (۲۰)$$

وجود داشته باشند، به طوری که نامساوی‌های ماتریسی خطی زیر:

$$\begin{bmatrix} S_{11} & S_{12} & S_{13} & S_{14} \\ * & S_{22} & S_{23} & S_{24} \\ * & * & S_{33} & S_{34} \\ * & * & * & R \end{bmatrix} > 0 \quad (۲۱)$$

$$\begin{bmatrix} \Phi_{11} & \Phi_{12} & \Phi_{13} & 0 & \Phi_{15} \\ * & \Phi_{22} & \Phi_{23} & \tau T & \Phi_{25} \\ * & * & \Phi_{33} & 0 & 0 \\ * & * & * & -\tau R & 0 \\ * & * & * & * & -2\tau(2P - R) \end{bmatrix} < 0 \quad (۲۲)$$

که در آن

$$\begin{aligned} \Phi_{11} &= \begin{bmatrix} \tilde{A}^T P_S + P_S \tilde{A} & \tilde{C}^T W^T \\ * & Q + Q^T \end{bmatrix} + Q_1 + Q_2 + \tau S_{11} \\ &\quad + S_{14} + S_{14}^T \\ \Phi_{12} &= \begin{bmatrix} \Pi_D \tilde{C} & \Pi_C \\ 0 & 0 \end{bmatrix} + \tau S_{12} + S_{24}^T + T^T \\ \Phi_{13} &= \tau S_{13} - S_{14} + S_{34}^T \\ \Phi_{15} &= 2\tau \begin{bmatrix} \tilde{A}^T P_S & \tilde{C}^T W^T \\ 0 & Q^T \end{bmatrix} \end{aligned} \quad (۲۳)$$

$$\begin{aligned} \Phi_{22} &= -(1-\mu)Q_1 - T - T^T + \tau S_{22} \\ \Phi_{23} &= \tau S_{23} - S_{24}, \quad \Phi_{25} = 2\tau \begin{bmatrix} \Pi_D \tilde{C} & \Pi_C \\ 0 & 0 \end{bmatrix}^T \end{aligned}$$

$$\Phi_{33} = -Q_2 + \tau S_{33} - S_{34} - S_{34}^T$$

$$\Pi_C = (\tilde{L} \otimes J_{n \times n_c}) \circ (I_{N-1} \otimes [f_1, \dots, f_N])$$

$$\Pi_D = (\tilde{L} \otimes I_n) \circ (I_{N-1} \otimes [k_1, \dots, k_N])$$

دارای جواب باشند. در این صورت ضرایب کنترل‌گر بازخورد خروجی از روابط زیر بدست می‌آیند:

$$\begin{aligned} A_C &= P_C^{-1} Q, \quad B_C = P_C^{-1} W \\ C_{C1} &= B_1^\top \bar{p}_s^{-1} f_1, \dots, C_{CN} = B_N^\top \bar{p}_s^{-1} f_N \\ D_{C1} &= B_1^\top \bar{p}_s^{-1} k_1, \dots, D_{CN} = B_N^\top \bar{p}_s^{-1} k_N \end{aligned} \quad (۲۴)$$

با توجه به روابط (۱۶) و (۱۷)، درایه‌های  $(\tilde{x}(t))$  نسبت به هم کاملاً مستقل خطی بوده و اختلاف بین حالات عامل‌ها را نشان می‌دهند، در نتیجه امکان استفاده از قضایای تحلیل پایداری لیپانوف-کراسوفسکی وجود داشته و با توجه به تعریف توافق جمعی در (۹)، مسئله توافق جمعی در بین عامل‌ها با همگرایی  $(\tilde{x}(t))$  به مقدار صفر تضمین شده است. با توجه به تغییرات انجام شده، در ادامه لم زیر برای بازنویسی سامانه‌ی حلقه بسته بکار گرفته می‌شود.

$$L_C \bar{A} = \bar{A} L_C, \quad L_{\bar{C}} \bar{C} = \bar{C} L_C : (۱۶)$$

با توجه به کاهش تعداد حالات سامانه در نتیجه بکارگیری ماتریس  $\tilde{L}$  و بردار حالت جدید  $\tilde{x}(t) \in \mathbb{R}^{n \times (N-1)}$ ، ابعاد ماتریس‌های  $A$  و  $C$  در نمایش فضای حالت جدید با ابعاد حالات سامانه همخوانی ندارد؛ بنابراین برای تطبیق ابعاد ماتریس‌های سامانه، ماتریس‌های  $\bar{C}$  و  $\tilde{A} = I_{N-1} \otimes A$  به ترتیب جایگزین ماتریس‌های  $C$  و  $\tilde{C} = \bar{C} L_C$  محاسبه می‌شوند به طوری که ماتریس  $\tilde{C}$  از رابطه‌ی  $\tilde{C} \tilde{L}_C = \bar{C} L_C$  می‌شود. در نهایت با اعمال تغییرات بیان شده، سامانه‌های حلقه بسته (۱۲) و (۱۵) به ترتیب به صورت سامانه‌های تقلیل یافته و بدون افزونگی (۱۸) و (۱۹) بازنویسی می‌شوند.

$$\dot{x}(t) = A_{clp} x(t) + B_{clp} x(t - \tau(t))$$

$$y(t) = C_{clp} x(t)$$

$$\begin{aligned} A_{clp} &= \begin{bmatrix} \tilde{A} & 0 \\ B_C \tilde{C} & A_C \end{bmatrix} \\ B_{clp} &= \begin{bmatrix} \tilde{L}_C \bar{B} D_C \tilde{C} & \tilde{L}_C \bar{B} C_C \\ 0 & 0 \end{bmatrix} \end{aligned} \quad (۱۸)$$

$$\dot{x}(t) = A_{clp} x(t) + B_{clp} x(t - \tau(t)) \quad (۱۹)$$

$$y(t) = C_{clp} x(t)$$

$$A_{clp} = \begin{bmatrix} \tilde{A} & \tilde{L}_C \bar{B} C_C \\ 0 & A_C \end{bmatrix}, \quad B_{clp} = \begin{bmatrix} \tilde{L}_C \bar{B} D_C \tilde{C} & 0 \\ B_C \tilde{C} & 0 \end{bmatrix}$$

که در آنها  $C_{clp} = \{\tilde{C}, 0\}$  و  $x(t) = [\tilde{x}^T(t) \quad x_c^T(t)]^T$  می‌باشد.

با تغییرات اعمال شده، مسئله توافق جمعی سامانه‌های (۸) و (۱۳) به مسئله پایداری سازی سامانه‌های (۱۸) و (۱۹) تبدیل شده و اگر بتوان پارامترهای کنترل‌گر را به گونه‌ای یافت که این سامانه‌ها پایدار مجانبی باشند، حالت‌های  $\tilde{x}(t)$  به صفر می‌بل خواهند کرد و توافق جمعی بین عامل‌ها محقق می‌شود. برای بدست آوردن شرایط پایدارسازی سامانه‌های (۱۸) و (۱۹) که معادل با مسئله توافق جمعی بین عامل‌هاست، از قضیه لیپانوف-کراسوفسکی استفاده می‌شود.

#### ۴- نتایج اصلی

که در آن

$$\Xi = \begin{bmatrix} \Omega_{11} & \Omega_{12} & \tau S_{13} - S_{14} + S_{34}^T \\ * & \Omega_{22} & \tau S_{23} - S_{24} \\ * & * & -Q_2 + \tau S_{33} - S_{34} - S_{34}^T \end{bmatrix}$$

$$\Omega_{11} = A_{clp}^T P + PA_{clp} + Q_1 + Q_2 + \tau S_{11} + S_{14} + S_{14}^T + 2\tau A_{clp}^T RA_{clp} \quad (31)$$

$$\Omega_{12} = PB_{clp} + \tau S_{12} + S_{24}^T + T^T + 2\tau A_{clp}^T RB_{clp}$$

$$\Omega_{22} = -(1-\mu)Q_1 + \tau S_{22} - T - T^T + \tau TR^{-1}T^T + 2\tau B_{clp}^T RB_{clp}$$

طبق معیار پایداری لیاپانوف-کراسوفسکی، از آنجایی که ماتریس‌های مجھول را به گونه‌ای در نظر گرفتیم که  $V(t) > 0$  باشد، برای تضمین  $\dot{V}(t) < 0$  و حصول پایداری مجانبی باید  $\Xi < 0$  برقرار باشد. نامعادله ماتریسی  $\Xi < 0$  به فرم خطی نیست و با اعمال تکنیک مکمل شور خواهیم داشت:

$$\begin{bmatrix} \bar{\Omega}_{11} & \bar{\Omega}_{12} & \tau S_{13} - S_{14} + S_{34}^T & 0 & 2\tau A_{clp}^T \\ * & \bar{\Omega}_{22} & \tau S_{23} - S_{24} & \tau T & 2\tau B_{clp}^T \\ * & * & -Q_2 + \tau S_{33} - S_{34} - S_{34}^T & 0 & 0 \\ * & * & * & -\tau R & 0 \\ * & * & * & * & -2\tau R^{-1} \end{bmatrix} < 0 \quad (32)$$

$$\bar{\Omega}_{11} = A_{clp}^T P + PA_{clp} + Q_1 + Q_2 + \tau S_{11} + S_{14} + S_{14}^T$$

$$\bar{\Omega}_{12} = PB_{clp} + \tau S_{12} + S_{24}^T + T^T$$

$$\bar{\Omega}_{22} = -(1-\mu)Q_1 + \tau S_{22} - T - T^T$$

ابتدا با ضرب نامعادله غیرخطی (۳۲) از چهار راست در ماتریس  $diag\{I, I, I, I, P\}$ ، درایه‌ی  $-2\tau R^{-1}$  به درایه‌ی غیرخطی  $-2\tau PR^{-1}P$  تبدیل شده و سپس با بکارگیری رابطه (۵) در لم ۲ معادله ماتریسی زیر نتیجه خواهد شد:

$$\begin{bmatrix} \bar{\Omega}_{11} & \bar{\Omega}_{12} & \tau S_{13} - S_{14} + S_{34}^T & 0 & 2\tau A_{clp}^T P \\ * & \bar{\Omega}_{22} & \tau S_{23} - S_{24} & \tau T & 2\tau B_{clp}^T P \\ * & * & -Q_2 + \tau S_{33} - S_{34} - S_{34}^T & 0 & 0 \\ * & * & * & -\tau R & 0 \\ * & * & * & * & -2\tau(2P - R) \end{bmatrix} < 0 \quad (33)$$

$$\bar{\Omega}_{11} = A_{clp}^T P + PA_{clp} + Q_1 + Q_2 + \tau S_{11} + S_{14} + S_{14}^T$$

$$\bar{\Omega}_{12} = PB_{clp} + \tau S_{12} + S_{24}^T + T^T$$

$$\bar{\Omega}_{22} = -(1-\mu)Q_1 + \tau S_{22} - T - T^T$$

نامعادله ماتریسی (۳۳) به دلیل ضرب ماتریس مجھول  $P$  در پارامترهای مجھول کنترل‌گرهای موجود در  $A_{clp}$  و  $B_{clp}$  خطی نیست. در ادامه بر اساس ساختار فرض شده برای ماتریس  $P$  در (۲۰)، جمله‌های  $A_{clp}^T P + PA_{clp}$  و  $PB_{clp}$  به فرم زیر بسط داده می‌شوند:

$$A_{clp}^T P + PA_{clp} = \begin{bmatrix} \tilde{A}^T P_S + P_S \tilde{A} & \tilde{C}^T B_C^T P_C \\ * & A_C^T P_C + P_C A_C \end{bmatrix} \quad (34)$$

$$PB_{clp} = \begin{bmatrix} P_S \tilde{L}_C \tilde{B} D_C \tilde{C} & P_S \tilde{L}_C \tilde{B} C_C \\ 0 & 0 \end{bmatrix}$$

**اثبات:** برای اینکه سامانه حلقه بسته (۱۸) پایدار باشد و ضمن برآورده سازی معیار قضیه‌ی پایداری لیاپانوف-کراسوفسکی، پارامترهای مجھول کنترل گر بدست آیند، لیاپانوف-کراسوفسکی تابعی (LKF) به صورت زیر در نظر گرفته می‌شود [۲۰]:

$$V(t) = x^T(t)Px(t) + \int_{t-\tau(t)}^t x^T(s)Q_1x(s)ds + \int_{t-\tau}^t x^T(s)Q_2x(s)ds + 2 \int_{-\tau}^0 \int_{t+\theta}^t \dot{x}^T(s)R\dot{x}(s)ds d\theta + \int_0^t \int_{\theta-\tau}^0 \xi^T(s, \theta)S\xi(s, \theta)ds d\theta \quad (25)$$

که  $\xi^T(s, \theta) = [x^T(\theta) \quad x^T(\theta - \tau(t)) \quad x^T(\theta - \tau) \quad \dot{x}^T(s)]$  و ماتریس‌های  $S, R, Q_2, P$  و  $Q_1$  به فرم

$$S = \begin{bmatrix} S_1 & S_2 \\ * & R \end{bmatrix}, S_1 = \begin{bmatrix} S_{11} & S_{12} & S_{13} \\ * & S_{22} & S_{23} \\ * & * & S_{33} \end{bmatrix}, S_2 = \begin{bmatrix} S_{14} \\ S_{24} \\ S_{34} \end{bmatrix} \quad (26)$$

ماتریس‌هایی مثبت معین هستند که باید مشخص شوند. از فرمول نیوتون-لینیز<sup>۱</sup>، برای هر ماتریس  $T$  با ابعاد مناسب، رابطه‌ی زیر برقرار است:

$$2x^T(t - \tau(t))T[x(t) - x(t - \tau(t))] - \int_{t-\tau(t)}^t \dot{x}(s)ds = 0 \quad (27)$$

با در نظر گرفتن  $\xi_0^T(t, \theta) = [x^T(\theta) \quad x^T(\theta - \tau(t)) \quad x^T(\theta - \tau) \quad \dot{x}^T(s)]$  مشتق‌گیری از (۲۵) نسبت به زمان و (۲۷) خواهیم داشت:

$$\begin{aligned} \dot{V}(t) = & \dot{x}^T(t)Px(t) + x^T(t)P\dot{x}(t) + x^T(t)Q_1x(t) \\ & - (1 - \dot{\tau}(t))x^T(t - \tau(t))Q_1x(t - \tau(t)) \\ & + x^T(t)Q_2x(t) - x^T(t - \tau)Q_2x(t - \tau) \\ & + 2\tau \dot{x}^T(t)R\dot{x}(t) - 2 \int_{t-\tau}^t \dot{x}^T(s)R\dot{x}(s)ds \\ & + \int_{t-\tau}^t \xi^T(s, t)S\xi(s, t)ds \\ \leq & \dot{x}^T(t)Px(t) + x^T(t)P\dot{x}(t) + x^T(t)(Q_1 + Q_2)x(t) \\ & - (1 - \mu)x^T(t - \tau(t))Q_1x(t - \tau(t)) \\ & - x^T(t - \tau)Q_2x(t - \tau) + 2\tau \dot{x}^T(t)R\dot{x}(t) \\ & + \xi_0^T(t, t)(\tau S_1 + S_2 \bar{I} + \bar{I}^T S_2^T)\xi_0(t, t) \\ & + 2x^T(t - \tau(t))T[x(t) - x(t - \tau(t)) - \int_{t-\tau(t)}^t \dot{x}(s)ds] \\ & - \int_{t-\tau}^t \dot{x}^T(s)R\dot{x}(s)ds \end{aligned} \quad (28)$$

که  $\bar{I} = [I \ 0 \ -I]$ . با توجه به لم ۲ رابطه‌ی زیر برقرار است:

$$-2x^T(t - \tau(t))T \int_{t-\tau(t)}^t \dot{x}(s)ds \leq x^T(t - \tau(t))TR^{-1}T^T x(t - \tau(t)) + \int_{t-\tau(t)}^t \dot{x}^T(s)R\dot{x}(s)ds \quad (29)$$

با در نظر گرفتن  $\Phi^T = [x^T(t) \quad x^T(t - \tau(t)) \quad x^T(t - \tau)]$  رابطه‌ی زیر نتیجه می‌شود:

$$\dot{V}(t) \leq \Phi^T \Xi \Phi \quad (30)$$

<sup>۱</sup> Newton-Leibniz Formula

$$W = \text{diag}\{w_1, \dots, w_N\}, Q = \text{diag}\{q_1, \dots, q_N\}, i = 1, \dots, N$$

و ماتریس  $P = P^T > 0$  به فرم (۲۰) وجود داشته باشند، به طوری که نامعادله ماتریسی خطی (۲۱) و نامعادله ماتریسی خطی زیر:

$$\begin{bmatrix} \Phi_{11} & \Phi_{12} & \Phi_{13} & 0 & \Phi_{15} \\ * & \Phi_{22} & \Phi_{23} & \tau T & \Phi_{25} \\ * & * & \Phi_{33} & 0 & 0 \\ * & * & * & -\tau R & 0 \\ * & * & * & * & -2\tau(2P - R) \end{bmatrix} < 0 \quad (۳۹)$$

که در آن

$$\begin{aligned} \bar{\Phi}_{11} &= \begin{bmatrix} \tilde{A}^T P_s + P_s \tilde{A} & \Pi_C \\ * & Q + Q^T \end{bmatrix} + Q_1 + Q_2 + \tau S_{11} \\ &\quad + S_{14} + S_{14}^T \end{aligned} \quad (۴۰)$$

$$\bar{\Phi}_{12} = \begin{bmatrix} \Pi_D \tilde{C} & 0 \\ W \tilde{C} & 0 \end{bmatrix} + \tau S_{12} + S_{24}^T + T^T$$

$$\bar{\Phi}_{15} = 2\tau \begin{bmatrix} \tilde{A}^T P_s & 0 \\ \Pi_C^T & Q^T \end{bmatrix}, \bar{\Phi}_{25} = 2\tau \begin{bmatrix} \tilde{C}^T \Pi_D^T & \tilde{C}^T W^T \\ 0 & 0 \end{bmatrix}$$

و بقیه درایه‌ها در (۲۳) بیان شده‌اند، دارای جواب باشند. ضرایب کنترل‌گر نامتمرکز نیز از رابطه (۲۴) بدست می‌آیند.

**اثبات:** مطابق روند اثبات در قضیه ۱ و تنها با در نظر گرفتن تفاوت‌های زیر، قضیه ۲ اثبات می‌شود.

$$\begin{aligned} PA_{clp} &= \begin{bmatrix} P_s & 0 \\ 0 & P_c \end{bmatrix} \begin{bmatrix} \tilde{A} & \tilde{L}_c \bar{B} C_c \\ 0 & A_c \end{bmatrix} = \begin{bmatrix} P_s \tilde{A} & P_s \tilde{L}_c \bar{B} C_c \\ 0 & P_c A_c \end{bmatrix} \\ PB_{clp} &= \begin{bmatrix} P_s & 0 \\ 0 & P_c \end{bmatrix} \begin{bmatrix} \tilde{L}_c \bar{B} D_c \tilde{C} & 0 \\ P_c B_c \tilde{C} & 0 \end{bmatrix} = \begin{bmatrix} P_s \tilde{L}_c \bar{B} D_c \tilde{C} & 0 \\ P_c B_c \tilde{C} & 0 \end{bmatrix} \end{aligned} \quad (۴۱)$$

**توجه ۱:** با صفر در نظر گرفتن مرتبه‌ی کنترل گر خروجی پویا یعنی  $n_c = 0$ ، کنترل گر بازخورد خروجی پویای ارائه شده در قضیه ۱ و قضیه ۲ به کنترل گر بازخورد خروجی ایستا تقلیل می‌یابد. علاوه بر این، اگر  $C = I$  در نظر گرفته شود، آنگاه مسئله‌ی طراحی کنترل گر خروجی پویا، به یک مسئله‌ی طراحی کنترل گر بازخورد حالت تغییر می‌یابد.

**توجه ۲:** باید توجه داشت که مشابه با نتیجه فرعی ۱، برای قضیه ۲ نیز نتیجه‌ای فرعی قابل استنتاج است که به جهت اختصار بیان نگردیده است.

## ۵- مثال عددی

تحلیل و کنترل رفتارهای هماهنگ در سامانه‌های چندعاملی ریاتیکی، از موضوعات مورد علاقه‌ی پژوهشگران در سال‌های اخیر به شمار می‌رود. کنترل ربات‌های همکار به عنوان نمونه‌ای از سامانه‌های چندعاملی از مباحث چالش برانگیز در ریاتیک است. عملیات پیچیده و سختی را که ممکن است با یک ربات بزرگ، گران، درجه آزادی بالا و طراحی پیچیده صورت پذیرد می‌توان با همکاری گروهی از ربات‌های کوچک و مشابه انجام داد. عملیات مونتاژ قطعاتی که هندسه‌ی پیچیده‌ای

بلوک‌های غیرصفر ماتریس  $PB_{clp}$  در (۳۴) را می‌توان با ترکیبی از ضربهای هادامارد و کرونکر به صورت زیر بازنوشت:

$$\begin{aligned} P_s \tilde{L}_c \bar{B} D_c &= (\tilde{L} \otimes I_n) \circ (I_{N-1} \otimes [\bar{p}_s B_1 D_{C1}, \dots, \bar{p}_s B_N D_{CN}]) \\ P_s \tilde{L}_c \bar{B} C_c &= (\tilde{L} \otimes J_{n \times n}) \circ (I_{N-1} \otimes [\bar{p}_s B_1 C_{C1}, \dots, \bar{p}_s B_N C_{CN}]) \end{aligned} \quad (۳۵)$$

اکنون با اعمال تغییر متغیرهایی به صورت زیر:

$$Q = P_c A_c, W = P_c B_c \quad (۳۶)$$

$$k_i = \bar{p}_s B_i D_{Ci}, f_i = \bar{p}_s B_i C_{Ci}, i = 1, 2, \dots, N$$

$\Pi_D, \Pi_C$  به صورت بیان شده در (۲۳) بدست می‌آیند و نامعادله (۳۳) به ازای  $Q, W, k_i, f_i$  و  $P$  خطی شده و نامعادله ماتریسی (۲۲) حاصل می‌شود. با استفاده از الگوریتم‌های موجود در نرم‌افزارها و افرونهای YALMIP و CVX می‌توان جواب سراسری برای متغیرها یافت [۲۲]. بنابراین، با مشخص شدن ماتریس‌های  $Q, W, k_i, f_i$  و  $P$  در نتیجه  $\bar{p}_s$  و  $P_c$ ، ضرایب کنترل گر بازخورد خروجی پویا طبق روابط بیان شده در (۲۴) حاصل خواهند شد و بدین ترتیب اثبات قضیه کامل می‌گردد.  $\square$

**نتیجه فرعی ۱:** اگر برای سامانه خطی (۱۸)، تأخیر زمانی در ورودی مقدار ثابت  $\tau$  باشد، با قرار دادن  $S_{13} = 0, S_{12} = 0, S_{23} = 0, S_{24} = 0, S_{34} = 0, S_{22} = 0$ ، ضمن حفظ پایداری، توافق جمعی بین عامل‌ها محقق می‌شود اگر ماتریس‌های  $S_{14}, S_{11}, R > 0, Q_2 > 0, S_{14}, S_{11}, R > 0, Q_2 > 0$  و  $S_{14} = \text{diag}\{w_1, \dots, w_N\}, Q = \text{diag}\{q_1, \dots, q_N\}, i = 1, \dots, N$  و ماتریس  $P = P^T > 0$  به فرم (۲۰) وجود داشته باشند، به طوری که نامعادله‌های ماتریسی خطی زیر:

$$\begin{bmatrix} S_{11} & S_{14} \\ * & R \end{bmatrix} > 0 \quad (۳۷)$$

$$\begin{bmatrix} \Psi \begin{bmatrix} \Pi_D \tilde{C} & \Pi_C \\ 0 & 0 \end{bmatrix} - S_{14} & \tau \begin{bmatrix} \tilde{A}^T P_s & \tilde{C}^T W^T \\ 0 & Q^T \end{bmatrix} \\ * & -Q_2 \\ * & \tau \begin{bmatrix} \Pi_D \tilde{C} & \Pi_C \\ 0 & 0 \end{bmatrix}^T \\ * & -\tau(2P - R) \end{bmatrix} < 0 \quad (۳۸)$$

دارای جواب باشند. در این صورت ضرایب کنترل گر بازخورد خروجی  $D_C, C_C, B_C$  و  $A_C$  از رابطه (۲۴) بدست می‌آیند.

**قضیه ۲:** با مشخص بودن مقادیر مثبت  $\tau$  و  $\mu$ ، کنترل گر بازخورد خروجی پویای پیشنهاد شده در رابطه (۱۴)، سامانه‌ی چندعاملی تعریف شده در (۱۳) را در حضور تأخیر متغیر با زمان (۷) در کلیه‌ی کانال‌های ارتباطی عامل‌ها به توافق جمعی می‌رساند اگر ماتریس‌های  $Q_1 > 0, Q_2 > 0, f_i, S_{ij} (i, j = 1, 2, 3, 4), T, R > 0$  برای

$$L = \begin{bmatrix} 1 & -1 & 0 \\ 0 & 1 & -1 \\ -1 & 0 & 1 \end{bmatrix} \quad (44)$$

با فرض  $k_1 = 0.1 \text{ Nm/V}$ ,  $B = 0.1 \text{ kgm}^2/\text{s}$ ,  $J = 0.03 \text{ kgm}^2$ ,  $k_2 = 0.5 \text{ Nm/V}$  و  $k_3 = 1 \text{ Nm/V}$  برای مدل (۴۳)، توافق جمعی با استفاده از کنترل گر بازخورد خروجی پویای نامتمر کن طراحی شده در [۱۶] محقق شده و موقعیت بازوی مکانیکی از شرایط اولیه مختلف به نقطه‌ای غیر از صفر همگرا می‌شود.

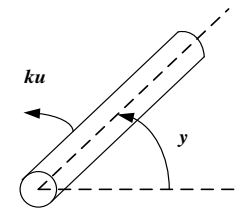
به منظور مقایسه و بهبود عملکرد الگوریتم [۱۶]، با افزودن تأخیر زمانی به ورودی کنترلی و توبولوژی ارتباطی مدل (۴۳) و اعمال قضیه ۱ و قضیه ۲ در شرایط اولیه و دینامیکی کاملاً مشابه با [۱۶] نتایج زیر با کمک جعبه‌بازار YALMIP در نرم‌افزار MATLAB حاصل می‌شود.

**نتایج حاصل از قضیه ۱:** با اعمال تأخیر متغیر با زمان  $0.5 + 0.5\cos(t)$  به ورودی کنترلی عامل‌ها در (۴۳) و با توجه به این که در قضیه ۱ امکان انتخاب مرتبه کنترل گر قبل از طراحی وجود دارد ولی الگوریتم [۱۶] تنها از کنترل گر مرتبه دو بهره می‌برد، لازم است نتایج خروجی و تلاش کنترلی برای مرتبه‌های مختلف کنترل گر علاوه بر مرتبه دو مورد بررسی قرار گیرد تا مزیت استفاده از کنترل گر مرتبه ثابت در مقایسه با سایر کنترل گرها به بحث گذاشته شود. در ادامه به جهت اختصار، پارامترهای کنترل گر، نحوه توافق جمعی بین عامل‌ها و تلاش کنترلی برای کنترل گر مرتبه دو آورده شده است.

جدول ۱: پارامترهای کنترل گر مرتبه دو استخراج شده از قضیه ۱.

پارامتر	عامل اول	عامل دوم	عامل سوم
$A_C$	$\begin{bmatrix} -0.2745 & -0.0096 \\ -0.0095 & -0.2708 \end{bmatrix}$	$\begin{bmatrix} -0.2757 & -0.0065 \\ -0.0060 & -0.2760 \end{bmatrix}$	$\begin{bmatrix} -0.2718 & -0.0013 \\ -0.0015 & -0.2703 \end{bmatrix}$
$B_C$	$\begin{bmatrix} 0.0006 \\ 0.0006 \end{bmatrix}$	$\begin{bmatrix} 0.0007 \\ 0.0007 \end{bmatrix}$	$\begin{bmatrix} 0.0004 \\ 0.0004 \end{bmatrix}$
$C_C$	$\begin{bmatrix} -0.5472 & -0.5180 \\ -0.0536 & -0.0507 \end{bmatrix}$	$\begin{bmatrix} -0.0265 & -0.0290 \\ -0.0137 & -0.0356 \end{bmatrix}$	$\begin{bmatrix} -0.0507 & -0.5180 \\ -0.0290 & -0.0265 \end{bmatrix}$
$D_C$	$\begin{bmatrix} -0.4288 \end{bmatrix}$	$\begin{bmatrix} -0.0356 \end{bmatrix}$	$\begin{bmatrix} -0.4288 \end{bmatrix}$

دارند، از مواردی است که اهمیت همکاری در ربات‌ها را نشان می‌دهد. گستره‌ی کاربرد بازوی‌های مکانیکی در عملیات مختلف، به صورتی روزافرون رو به افزایش است و وسعت تحقیقات و پژوهش‌های انجام شده در این زمینه به خوبی نمایان گر این واقعیت می‌باشد. از جمله‌ی این عملیات می‌توان به مونتاژ، جوشکاری، برشکاری، رنگرزی، بازوی‌های جرثقیلی، میکروسکوپ اتمی و صنایع دفاعی و امنیتی اشاره کرد [۲۳]. در [۱۶] با معرفی مدل خطی یک بازوی مکانیکی مرتبه اول، توافق جمعی در یک سامانه چندعاملی مشکل از سه عدد بازوی مرتبه اول نشان داده شده در شکل ۱ با استفاده از کنترل گر بازخورد خروجی پویای نامتمر کر مورد بررسی قرار گرفته و شرط توافق جمعی به صورت نامساوی ماتریسی دوسریه بیان شده است، لذا استخراج پارامترهای کنترل گر در این فرم، پیچیده و بدون استفاده از روش‌های تکراری و تقریبی ناممکن است.



شکل ۱: بازوی مکانیکی و جهت حرکت و نیرو [۱۶].  
مدل مفروض برای این بازو، با توجه به قوانین نیوتون به فرم خطی زیر به دست می‌آید:

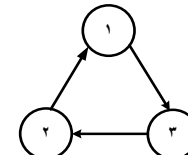
$$J\ddot{y}_i + \dot{y}_i = k_i u_i, \quad i=1,2,3 \quad (42)$$

با توجه به (۴۲)، مدل فضای حالت، به فرم زیر قابل بازنویسی است:

$$\begin{aligned} \dot{x}_i &= \begin{bmatrix} 0 & 1 \\ 0 & -B/J \end{bmatrix} x_i + \begin{bmatrix} 0 \\ k_i/J \end{bmatrix} u, \\ y_i &= [1 \ 0] x_i \end{aligned} \quad (43)$$

که در آن  $x_i = [y_i \ \dot{y}_i]^T$ ,  $y_i$  اینرسی بازو،  $B$  ضریب اصطکاک و  $k_i$  ضریب گشتاور موتور هستند [۱۶].

این سه بازو به عنوان سه عامل با توبولوژی مثلثی نشان داده شده در با یکدیگر ارتباط دارند:



شکل ۲: توبولوژی شبکه‌ی سامانه‌ای با سه عامل.  
با توجه به شکل ۲ ماتریس لaplaci این سامانه به فرم زیر نوشته می‌شود:

جمع آوری شده‌اند تا دید بهتری از چگونگی عملکرد کنترل گرهای طراحی شده با مرتبه‌های مختلف در قضیه ۱ به دست آید.

جدول ۲: شاخص‌های عملکرد کنترلی برای روش ارائه شده در قضیه ۱.

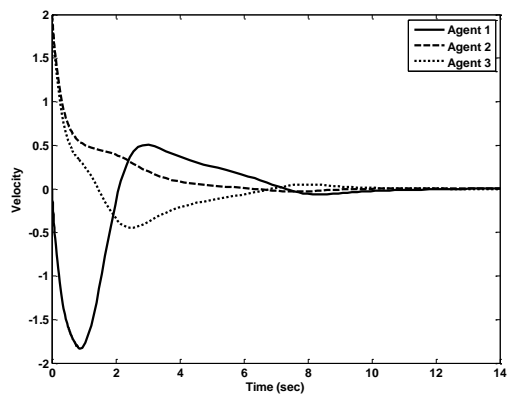
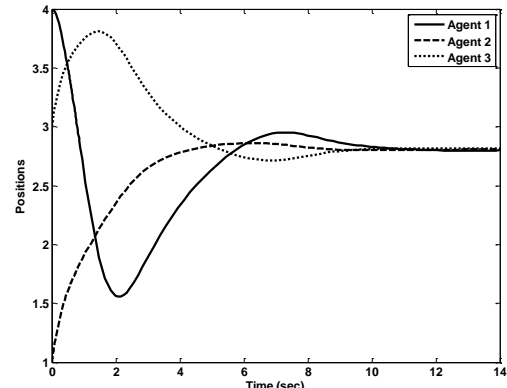
ITAU	ITSU	IAU	ISU	مرتبه کنترل گر
3.3815	2.9549	3.6550	6.7685	[۱۶]
8.4815	3.1575	3.6777	2.8834	صفر
7.4104	2.1679	3.1968	2.2270	یک
7.4836	2.2148	3.2250	2.2611	دو
8.0133	2.6486	3.4534	2.5607	سه
8.0634	2.7011	3.4808	2.6046	چهار
8.0729	2.6835	3.4729	2.5844	پنج
8.1903	2.8119	3.5307	2.6686	شش

سرعت همگرایی کنترل گرهای استخراج شده از قضیه ۱ نسبت به الگوریتم [۱۶] کمتر و نوسان بیشتر است. همچنین کنترل گرهای مرتبه ثابت پیشنهاد شده با جبران‌سازی تأخیر زمانی، عامل‌های دارای تأخیر ثابت و متغیر با زمان در ورودی کنترلی را به توافق جمعی می‌رسانند و با اعمال مرتبه‌های کم و حتی صفر به کنترل گر، پاسخی مناسب برای سامانه‌ی چندعاملی تأخیردار حاصل می‌گردد و این بدین معنی است که می‌توان با توجه به امکانات و شرایط موجود، حداقل مرتبه را برای کنترل گرهای مرتبه ثابت انتخاب نمود تا علاوه بر نائل آمدن به یک پاسخ مطلوب، هزینه‌های کنترلی نیز کاهش یابد. با افزایش مرتبه کنترل گر از صفر به یک، فراجهش و میرایی حالات عامل‌ها و تلاش کنترل گرهای کاهش یافته و توافق جمعی نیز سریعتر محقق می‌گردد و در این مورد افزایش مرتبه کنترل گر پاسخ بهتری را نتیجه می‌دهد، ولی با افزایش مرتبه کنترل گر از یک به مرتبه‌های بالاتر، طراح می‌تواند با توجه به تلاش کنترلی مرتبه‌های مختلف در جدول ۲ و نحوه همگرایی حالات عامل‌ها به مقدار مورد توافق، مرتبه دلخواه را انتخاب نماید.

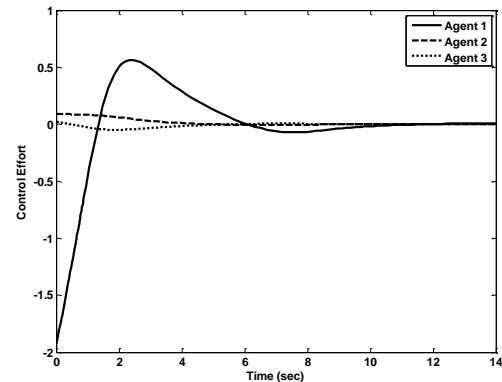
**نتایج حاصل از قضیه ۲:** برای سامانه (۴۳) با در نظر گرفتن تأخیر متغیر با زمان  $0.5\cos(t)$  در همه کاتالالوگ‌های ارتباطی شکل ۲، نتایج حاصل از قضیه ۲ برای کنترل گر مرتبه دو مانند قضیه ۱ در ادامه آمده است.

جدول ۳: پارامترهای کنترل گر مرتبه دو استخراج شده از قضیه ۲.

عامل سوم	عامل دوم	عامل اول	پارامتر
$\begin{bmatrix} -0.7223 & 0.0034 \\ 0.0035 & -0.7224 \end{bmatrix}$	$\begin{bmatrix} -0.7232 & 0.0015 \\ 0.0016 & -0.7239 \end{bmatrix}$	$\begin{bmatrix} -0.7238 & 0.0012 \\ 0.0013 & -0.7225 \end{bmatrix}$	$A_C$
$\begin{bmatrix} -0.0203 \\ -0.0185 \end{bmatrix}$	$\begin{bmatrix} 0.0181 \\ 0.0202 \end{bmatrix}$	$\begin{bmatrix} 0.0148 \\ 0.0137 \end{bmatrix}$	$B_C$
$\begin{bmatrix} -0.0003 & 0.0008 \\ -0.0270 \end{bmatrix}$	$\begin{bmatrix} 0.0001 & 0.0002 \\ -0.0118 \end{bmatrix}$	$\begin{bmatrix} 0.0043 & -0.0093 \\ -0.4356 \end{bmatrix}$	$C_C$
			$D_C$



شکل ۳: تحقق توافق جمعی با کنترل گر مرتبه دو حاصل از قضیه ۱.



شکل ۴: تلاش کنترلی با کنترل گر مرتبه دو حاصل از قضیه ۱.

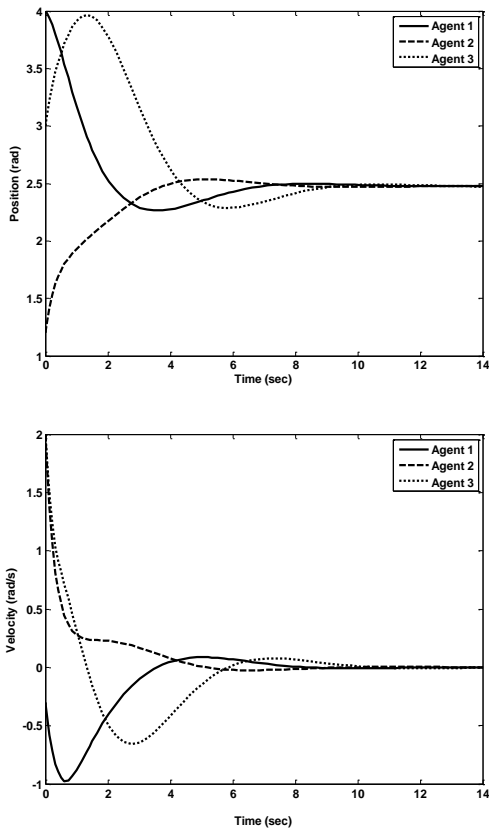
به منظور مقایسه مناسب‌تر کنترل گرهای با مرتبه‌های مختلف با یکدیگر و با کنترل گر بدست آمده در [۱۶]، شاخص‌های عملکرد کنترلی IAU، ISU و ITAU (۲۴) را برای مجموع تغییرات تلاش کنترل گرهای در هر سه عامل مطابق روابط زیر تعریف می‌کنیم:

$$\begin{aligned} ISU &= \int_0^{\infty} u^2(t) dt, \quad IAU = \int_0^{\infty} |u(t)| dt \\ ITSU &= \int_0^{\infty} t u^2(t) dt, \quad ITAU = \int_0^{\infty} t |u(t)| dt \end{aligned} \quad (45)$$

با این تعاریف به جهت اختصار برای کنترل گرهای مرتبه‌ی صفر تا شش، نتایج مربوط به تغییرات کنترل گر به صورت عددی در جدول ۲

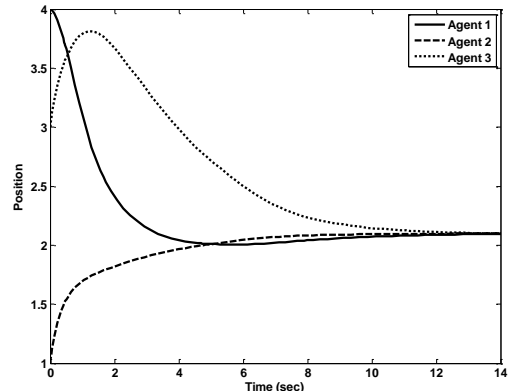
در شکل ۵ مشاهده می‌شود که کنترل گر استخراجی از قضیه ۲ ضمن کاهش محافظه کاری و جبرانسازی تأخیر متغیر با زمان اجتناب ناپذیر در کانال‌های ارتباطی عامل‌ها، توافق جمعی را با نوسانات و زمان همگرایی بیشتر و تلاش کنترلی کمتر نسبت به الگوریتم [۱۰] محقق می‌سازد. کنترل گر مرتبه‌ی یک دارای پاسخی با مشخصه‌های عملکردی تقریباً یکسان در تحقق توافق جمعی نسبت به مرتبه‌های بالاتر می‌باشد، لذا کنترل گر مرتبه‌ی یک نسبت به کنترل گرهای مرتبه‌ی بالاتر ضعف محسوسی ندارد و مناسب‌ترین مرتبه برای انتخاب کنترل گر پویای مرتبه ثابت است. مزیت اصلی روش فعلی پایین بودن مرتبه کنترل گر است که به تبع آن پیاده‌سازی و مصرف انرژی و همچنین تعمیر و نگهداری آسان‌تر و کم‌هزینه‌تری را به دنبال دارد.

همچنین با در نظر گرفتن تأخیر ثابت ۵، ۰ ثانیه در ورودی کنترلی (۴۲)، نحوی توافق جمعی بین عامل‌ها حاصل از اعمال نتیجه فرعی ۱ در شکل ۷ آمده است.

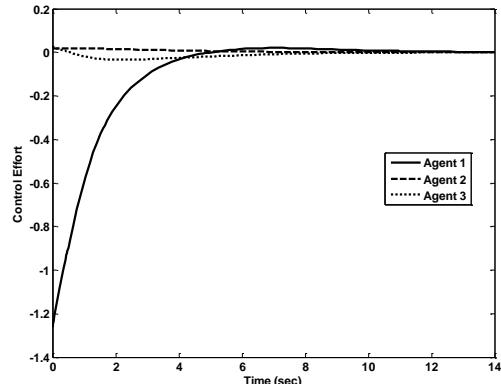


شکل ۷: تحقق توافق جمعی با کنترل گر مرتبه دو حاصل از قضیه ۱.

لازم به ذکر است که کنترل گر بازخورد خروجی پویای نامتمر کر در [۱۶]، وجود تأخیرات اجتناب‌ناپذیر در مدل سامانه را که می‌تواند منجر به تضعیف عملکرد و حتی ناپایداری شود در نظر نمی‌گیرد و از روش‌های تکراری و کم دقت برای بدست آوردن ضرایب مجھول کنترل گر استفاده می‌کند ولی کنترل گرهای استخراج شده از قضیه ۱ و ۲ با بهبود کنترل گر [۱۶]، ضمن کاهش محافظه کاری، توافق جمعی را در حضور



شکل ۵: تحقق توافق جمعی با کنترل گر مرتبه دو حاصل از قضیه ۲.



شکل ۶: تلاش کنترلی با کنترل گر مرتبه دو حاصل از قضیه ۲.

جدول ۴: شاخص‌های عملکرد کنترلی برای روش ارائه شده در قضیه ۲.

مرتبه کنترل گر	ITAU	ITSU	IAU	ISU	الگوریتم [۱۶]
3.3815	2.9549	3.6550	6.7685		
3.3273	0.7175	1.9117	1.1550		صفرا
3.3217	0.7380	1.9149	1.1279		یک
3.4369	0.7231	1.9132	1.1111		دو
3.5359	0.7050	1.9050	1.0630		سه
3.7873	0.7018	1.9204	1.0442		چهار
3.8952	0.6858	1.9180	1.0153		پنج
4.0871	0.6801	1.9270	0.9932		شش

[5] Y. Cao, W. Yu, W. Ren, and G. Chen, "An overview of recent progress in the study of distributed multi-agent coordination," *Ind. Informatics, IEEE Trans.*, vol. 9, no. 1, pp. 427–438, 2013.

[6] J. A. Fax, "Optimal and cooperative control of vehicle formations," California Institute of Technology, 2001.

[7] R. Olfati-Saber and R. M. Murray, "Consensus problems in networks of agents with switching topology and time-delays," *Autom. Control. IEEE Trans.*, vol. 49, no. 9, pp. 1520–1533, 2004.

[8] X.-L. Feng, T.-Z. Huang, and J.-L. Shao, "Several consensus protocols with memory of multi-agent systems," *Math. Comput. Model.*, vol. 58, no. 9, pp. 1625–1633, 2013.

[9] X. Zhang and X. Liu, "Further results on consensus of second-order multi-agent systems with exogenous disturbance," *Circuits Syst. I Regul. Pap. IEEE Trans.*, vol. 60, no. 12, pp. 3215–3226, 2013.

[10] C. Song, J. Cao, and Y. Liu, "Robust consensus of fractional-order multi-agent systems with positive real uncertainty via second-order neighbors information," *Neurocomputing*, 2015.

[11] X. Yang and J. Wang, "Distributed Robust Consensus Control of Multiagent Systems with Communication Errors Using Dynamic Output Feedback Protocol," *Math. Probl. Eng.*, vol. 2013, 2013.

[12] Z. Li, W. Ren, X. Liu, and L. Xie, "Distributed consensus of linear multi-agent systems with adaptive dynamic protocols," *Automatica*, vol. 49, no. 7, pp. 1986–1995, 2013.

[13] P.-P. Dai, C.-L. Liu, and F. Liu, "Consensus Problem of Heterogeneous Multi-agent Systems with Time Delay under Fixed and Switching Topologies," *Automation and Computing*, vol. 11, no. 3, pp. 340–346, 2014.

[14] W. Yu, G. Chen, and M. Cao, "Some necessary and sufficient conditions for second-order consensus in multi-agent dynamical systems," *Automatica*, vol. 46, no. 6, pp. 1089–1095, 2010.

[15] J. Xu, L. Xie, T. Li, and K. Y. Lum, "Consensus of multi-agent systems with general linear dynamics via dynamic output feedback control," *Control Theory Appl. IET*, vol. 7, no. 1, pp. 108–115, 2013.

[16] G. Zhai, S. Okuno, J. Imae, and T. Kobayashi, "A new consensus algorithm for multi-agent systems via decentralized dynamic output feedback," *J. Intell. Robot. Syst.*, vol. 63, no. 2, pp. 309–322, 2011.

[17] M. Sojoodi and V. J. Majd, "A Fixed-Order Robust Decentralized Dynamic Output Feedback Controller Design for Large Scale Systems with Nonlinear Uncertainty," *JOC*, vol. 4, no. 3, 2010.

تأخر ثابت و متغیر با زمان در ورودی یا توبولوژی ارتباطی و نیز در بعضی مرتبه‌های کنترل گر با تلاش کنترلی کمتری با ابزار نامساوی ماتریسی خطی تحقق می‌بخشد.

## ۶- نتیجه‌گیری

در این مقاله، یک روش نوین به منظور طراحی کنترل گر بازخورد خروجی پویای نامتمرکز با مرتبه‌ی دلخواه ثابت جهت تحقق توافق جمیعی در سامانه‌های چندعاملی دارای تأخیر زمانی در ورودی کنترلی و توبولوژی ارتباطی با رویکرد نامساوی‌های ماتریسی خطی ارائه شده است. با اعمال تبدیلات مناسب، مسئله‌ی توافق جمیعی به مسئله‌ی پایدارسازی یک سامانه‌ی حلقه بسته واحد تأخیردار تقیل یافته و با انتخاب تابع لیپاونوف-کراسوفسکی مناسب، علاوه بر تضمین پایداری، ضرایب مجھول کنترل گر و شروط توافق جمیعی به صورت وابسته به تأخیر بدست آمده است. بر خلاف کارهای مشابه پیشین، اتخاذ فرم قطربی برای ماتریس‌های موجود در تابع لیپاونوف-کراسوفسکی، مشکل حل نامساوی‌های ماتریسی دو سویه را مرتفع نموده و قید نهایی به فرم نامساوی‌های ماتریسی خطی نمایان شده است. از مهم‌ترین ویژگی‌های روش طراحی پیشنهادی، دلخواه بودن مرتبه کنترل گر و انتخاب آن با توجه به محدودیت‌های پایدارسازی و اهداف کنترلی مدنظر طراح است که برای عامل‌های مرتبه‌ی بالا، امکان دست‌یابی به توافق جمیعی با کنترل گرهای نامتمرکز مرتبه پایین را محقق می‌سازد. نتایج شبیه‌سازی برای بازوی مکانیکی، کارایی روش ارائه شده را به خوبی نشان داده است. در تمام طول پژوهش فرض بر این است که شبکه‌ی ارتباطی عامل‌ها ثابت و نامتغير بوده و در نتیجه ماتریسی لاپلاسی شبکه در عمل و در عامل‌ها ثابت است. این در حالی است که توبولوژی شبکه در عمل و در سامانه‌هایی با عامل‌های زیاد متغیر و دارای عدم قطعیت است. بنابراین تعیین رویکرد پیشنهادی به سامانه‌های چندعاملی با توبولوژی ارتباطی متغیر با زمان و غیرقطعی جهت کاهش محافظه‌کاری می‌تواند ادامه منطقی پژوهش باشد.

## مراجع

- [1] D. J. Hill, "Multi-Agent Systems with Dynamical Topologies: Consensus and Applications," *IEEE Circuits Syst. Mag.*, vol. 13, no. 3, pp. 21–34, 2013.
- [2] L. Padgham and M. Winikoff, *Developing intelligent agent systems: A practical guide*, vol. 13. John Wiley & Sons, 2005.
- [3] R. Olfati-Saber, J. A. Fax, and R. M. Murray, "Consensus and Cooperation in Networked Multi-Agent Systems," *Proc. IEEE*, vol. 95, no. 1, pp. 215–233, Jan. 2007.
- [4] G. Xiong and S. Kishore, "Discrete-time second-order distributed consensus time synchronization algorithm for wireless sensor networks," *EURASIP J. Wirel. Commun. Netw.*, vol. 2009, p. 1, 2009.

- 
- [21] G. Wen, Z. Duan, G. Chen, and W. Yu, “Consensus tracking of multi-agent systems with Lipschitz-type node dynamics and switching topologies,” *Circuits Syst. I Regul. Pap. IEEE Trans.*, vol. 61, no. 2, pp. 499–511, 2014.
- [22] J. Lofberg, “YALMIP: a toolbox for modeling and optimization in MATLAB,” in *2004 IEEE International Conference on Robotics and Automation (IEEE Cat. No.04CH37508)*, pp. 284–289.
- [23] D. Zhao, W. Ni, and Q. Zhu, “A framework of neural networks based consensus control for multiple robotic manipulators,” *Neurocomputing*, vol. 140, pp. 8–18, 2014.
- [24] S. M. Shinners, “Modern Control System Theory and Design.” John Wiley & Sons, p. 748, May-1998.
- [18] J. Wu and Y. Shi, “Consensus in multi-agent systems with random delays governed by a Markov chain,” *Syst. Control Lett.*, vol. 60, no. 10, pp. 863–870, 2011.
- [19] S. P. Boyd, L. El Ghaoui, E. Feron, and V. Balakrishnan, *Linear matrix inequalities in system and control theory*, vol. 15. SIAM, 1994.
- [20] L. Li and Y. Jia, “Non-fragile dynamic output feedback control for linear systems with time-varying delay,” *Control Theory Appl. IET*, vol. 3, no. 8, pp. 995–1005, 2009.